

**АНАЛОГО-ЦИФРОВЫЕ СХЕМЫ ТТЛ
АППРОКСИМИРУЮЩИЕ РЕГИСТРЫ 8 А И 12 БИТ**

MHB1502 MHC1502
MHB1504 MHC1504

АППРОКСИМИРУЮЩИЕ РЕГИСТРЫ

MHB1502, MHC1502: 8 БИТ

MHB1504, MHC1504: 12 БИТ

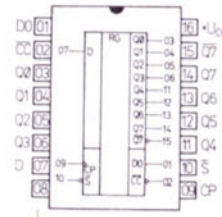
**РАБОТАЮЩИЕ НА ПРИНЦИПЕ ПОСТЕПЕННОЙ
АППРОКСИМАЦИИ, СОДЕРЖАТ ВСЕ НЕОБХОДИМЫЕ
ЦИФРОВЫЕ УПРАВЛЯЮЩИЕ И ЗАПОМИНАЮЩИЕ
СХЕМЫ ДЛЯ РАЗРАБОТКИ АНАЛОГО-ЦИФРОВОГО
ПРЕОБРАЗОВАТЕЛЯ.**

Пределевые значения:

	мин.	макс.	
U_{CC}	—0,5	+7,0	V
U_I	—0,5	+5,5	V
U_O 1)	—0,5	+5,5	V
I_o		30	mA
I_I	—30	+5	mA
ϑ_a MHB1052, MHB1054	0	+70	°C
MHC1502, MHC1504	—55	+125	°C
ϑ_{stg}	—55	+155	°C

1) Выходное напряжение в состоянии высокого уровня $U_{O \max}$

КОРПУС: MHB1502, MHC1502 IO—14
 MHB1504, MHC1504 IO—15



MHB1502, MHC1502
Соединение выводов (вид сверху)

Характеристические данные:

Статические значения:

	мин.-макс.	
Входное напряжение — уровень H каждый вход	U_{IH}	$\geq 2,0$ V
Входное напряжение — уровень L каждый вход	U_{IL}	$\leq 0,8$ V
Выходное напряжение — уровень H $U_{CC} = \text{миним. знач.}, U_{IH} = 2,0 \text{ V}, U_{IL} = 0,8 \text{ V},$ $I_{OH} = -0,48 \text{ mA}$	U_{OH}	$\geq 2,4$ V
Выходное напряжение — уровень L $U_{CC} = \text{миним. знач.}, U_{IH} = 2,0 \text{ V}, U_{IL} = 0,8 \text{ V},$ $I_{OL} = 9,6 \text{ mA}$	U_{OL}	$\leq 0,4$ V
Входной ток — уровень H $U_{CC} = \text{максим. знач.}, U_I = 2,4 \text{ V}$ вход CP, D вход S, E	I_{IH}	≤ 40 μA
Входной ток — уровень L $U_{CC} = \text{максим. знач.}, U_I = 0,4 \text{ V}$ вход CP, D, S вход E	I_{IL}	≤ 80 μA
Выходной ток короткого замыкания $U_{CC} = \text{максим. знач.}$	I_{OS}	$\leq 1,0$ mA
Отбор тока от источника $U_{CC} = \text{максим. знач.}$	I_{CC}	≤ 95 mA
Напряжение на антиволновом диоде $U_{CC} = \text{миним. знач.}, I_I = -12 \text{ mA}$	$-U_D$	$\leq 1,5$ V

Динамические значения:

$\vartheta_a = 25^\circ\text{C}, U_{CC} = 5 \text{ V}, C_L = 15 \text{ pF}$

Замедление прохода сигнала от входа CP на выход

MHB1504, MHC1504

от входа CP на выход Q_{11}, \bar{Q}_{11}
от входа E на выход Q_{11}

t_{PLH}	10...45	ns
t_{PHL}	10...40	ns
$t_{PLH}(Q_{11})$	10...50	ns
$t_{PLH}(E)$	≤ 23	ns
$t_{PHL}(E)$	≤ 30	ns